

Ambidentate 리간드의 금속착물(제 4 보).  
Bis(isonitrosoacetylaceton)diimine 유도체를 리간드로  
하는 니켈(II) 및 팔라듐(II) 착물

李萬浩<sup>†</sup> · 李善鎭

경북대학교 공과대학 공업화학과  
(1987. 10. 22 접수)

Metal Complexes of Ambidentate Ligand (IV).  
Nickel(II) and Palladium(II) Complexes of  
bis(isonitrosoacetylaceton)diimine Derivatives

Man-Ho Lee<sup>†</sup> and Seon-Ho Lee

Department of Industrial Chemistry, College of Engineering, Kyungpook  
National University, Taegu 702-701, Korea  
(Received October 22, 1987)

**요 약.** Isonitrosoacetylaceton 및 여러가지 디아민으로 부터 유도된 리간드와의 니켈(II) 및 팔라듐(II) 착물들, 즉, Ni(IAA)<sub>2</sub>-en, Ni(IAA)<sub>2</sub>-pn, Ni(IAA)<sub>2</sub>-tn, Pd(IAA)<sub>2</sub>-en, PdCl(IAA)-pn, 그리고 Pd(IAA)<sub>2</sub>-tn 을 합성하였다. 여기서 (IAA)<sub>2</sub>-en, (IAA)<sub>2</sub>-pn, (IAA)<sub>2</sub>-tn, 그리고 (IAA)-pn 은 각각 *N, N'*-ethylenbis(isonitrosoacetylaceton imine), *N, N'*-propylenbis(isonitrosoacetylaceton imine), *N, N'*-trimethylenbis(isonitrosoacetylaceton imine), 그리고 *N*-(2-aminopropyl)isonitrosoacetylaceton imine 을 표시한다. 합성된 이들 니켈(II) 및 팔라듐(II) 착물들의 원소분석, 적외선 스펙트럼, 핵자기공명스펙트럼, 그리고 전자스펙트럼등을 측정 한 결과, Ni(IAA)<sub>2</sub>-tn 및 Pd(IAA)<sub>2</sub>-en 에서 리간드의 한 isonitroso 기는 질소원자를 통하여 금속이온에 배위되어 5각형 고리를 이루고 다른 isonitroso 기는 산소원자를 통하여 금속이온에 배위되어 6각형 고리를 이룬다. 그리고, Ni(IAA)<sub>2</sub>-en, Ni(IAA)<sub>2</sub>-pn, 그리고 Pd(IAA)<sub>2</sub>-tn 에서 리간드의 두개의 isonitroso 기는 모두 질소원자를 통하여 금속이온에 배위되어 5각형 고리를 이룬다. 한편, PdCl(IAA)-pn 은 팔라듐과 한분자의 isonitrosoacetylaceton 및 propylenediamine 의 반응으로 생성된다.

**ABSTRACT.** Some nickel(II) and palladium(II) complexes of the ambidentate ligands derived from condensation of the isonitrosoacetylaceton and various diamines, Ni(IAA)<sub>2</sub>-en, Ni(IAA)<sub>2</sub>-pn, Ni(IAA)<sub>2</sub>-tn, Pd(IAA)<sub>2</sub>-en, PdCl(IAA)-pn, and Pd(IAA)<sub>2</sub>-tn, where (IAA)<sub>2</sub>-en, (IAA)<sub>2</sub>-pn, and (IAA)-pn represent *N, N'*-ethylenbis(isonitrosoacetylaceton imine), *N, N'*-propylenbis(isonitrosoacetylaceton imine), *N, N'*-trimethylenbis(isonitrosoacetylaceton imine) and *N*-(2-aminopropyl)isonitrosoacetylaceton imine, respectively, have been prepared. The nickel(II) and palladium(II) complexes were characterized on the bases of the elemental analysis, IR, NMR, and electronic spectra. It is suggested that a isonitroso group of (IAA)<sub>2</sub>-en or (IAA)<sub>2</sub>-tn coordinates to the metal ion through the nitrogen atom to form five-membered ring, while the other isonitroso group of (IAA)<sub>2</sub>-en or (IAA)<sub>2</sub>-tn coordinates to the metal ion through the oxygen atom to form six-

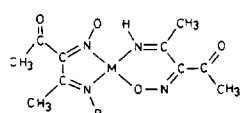
membered ring in square-planar complexes of Ni(IAA)<sub>2</sub>-tn and Pd(IAA)<sub>2</sub>-en. And two isonitroso groups of (IAA)<sub>2</sub>-en, (IAA)<sub>2</sub>-pn, or (IAA)<sub>2</sub>-tn coordinate to the metal ion through the nitrogen atom to form five-membered rings in square-planar complexes of Ni(IAA)<sub>2</sub>-en, Ni(IAA)<sub>2</sub>-pn, and Pd(IAA)<sub>2</sub>-tn. On the other hand, square-planar PdCl(IAA)-pn is formed by the reaction of propylenediamine with a isonitrosoacetylactone in the presence of palladium(II) ion.

## 서 론

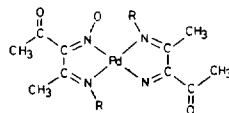
$\beta$ -diketone의  $\alpha$ -isonitroso 화합물인 isonitrosoacetylactone (CH<sub>3</sub>COC(NO)COCH<sub>3</sub>, 이하 H-IAA 로 줄임)의 금속착물에 관한 연구<sup>1~4</sup>는 많이 보고되어 있다. 이들 연구에 의하면 H-IAA의 isonitroso 기(=N-O)는 전이금속이온과 결합을 형성할 때 결합이 가능한 2개(N 및 O)의 주계원자를 갖고 있으므로 H-IAA는 여러가지 결합방식이 가능한 흥미있는 ambidentate 리간드이다.

또한  $\alpha$ -isonitroso- $\beta$ -diketone의 imine 류의 금속착물에 관한 연구<sup>5~11</sup>도 많이 보고되어 있으나 diimine류의 금속착물에 관한 연구<sup>12</sup>는 매우 적다.

즉,  $\alpha$ -isonitroso- $\beta$ -diketone imine 류의 금속착물에 관한 연구로 Lacey 등<sup>6</sup>과 Bose 등<sup>9</sup>은 isonitrosoacetylactone imine(IAA-NH) 및 *N*-alkylisonitrosoacetylactone imine(IAA-NR)의 Ni(II) 및 Pd(II) 착물의 구조를 아래의 (I) 및 (II)와 같음을 보고하였다.



M = Ni, R = *N*-or alkyl group  
M = Pd, R = H  
(I)



R = alkyl group  
(II)

(I)의 구조를 갖는 Ni(IAA-NH) (IAA-NR) 착물에서 리간드인 IAA-NH는 isonitroso 기의 산소원자를 통하여 금속이온에 배위되어 6원고리를 형성하고 IAA의 *N*-alkylimine 유도체(IAA-NR)는 isonitroso 기의 질소원자를 통하여 금속이온에 배위되어 5원고리를 형성하는 결합이성질체를 나타낸다. Pd(IAA-NH) (IAA-NH') 착물에서도 Ni(IAA-NH) (IAA-NR) 착물과 같은 (I)의 구조를 가지나, Pd(IAA-NR)<sub>2</sub> 착물에서는

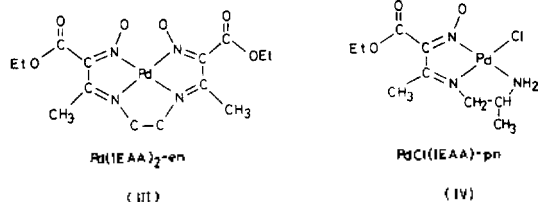
(II)의 구조와 같이 양쪽 리간드가 모두 isonitroso 기의 질소원자를 통하여 금속이온에 배위되어 대칭적인 5원고리를 형성함을 알 수 있다.

그리고 Lee 등<sup>10</sup>은 H-IAA 대신에 H-IAA의 한쪽 methyl 기를 phenyl 기로 치환시킨 isonitrosobenzoylactone imine(H-IBA-NH) 및 *N*-alkylisonitrosobenzoylactone imine(H-IBA-NR)의 Ni(II) 및 Pd(II) 착물을 합성하여 Ni(IBA-NH) (IBA-NR) 착물과 Pd(IBA-NH) (IBA-NH') 착물의 구조는 Lacey 등<sup>6</sup>과 Bose 등<sup>9</sup>이 제안한 구조(I)와 같이 5원고리와 6원고리가 한 착물내에 존재하는 비대칭적인 결합이성질체구조이며 Pd(IBA-NR)<sub>2</sub> 착물의 결합구조는 두개의 리간드가 모두 5원고리를 이루는 대칭적인 구조임을 밝혔다.

1983년 Kim<sup>11</sup>은 isonitrosoethylacetoacetate(이하, H-IEAA 로 줄임)의 imine 유도체의 Ni(II)과 Pd(II) 착물을 합성하였다. 이연구에서 Ni(IEAA-NH) (IEAA-NH') 착물과 Pd(IEAA-NH) (IEAA-NR) 착물 그리고 Pd(IEAA-NH)<sub>2</sub> 착물의 구조는 Lacey 등<sup>6</sup>이 제안한 구조와 같았다. 그러나 리간드가 H-IAA-NR이나 H-IBA-NR에서는 합성되지 않았던 Ni(IEAA-NR)<sub>2</sub>형 착물의 구조는 두개의 5원고리가 대칭을 이루는 구조라 하였다. 그 이유는 methyl 기나 phenyl 기 보다는 ethoxyl 기의 전자끌어당기는 효과 크기 때문인 것으로 설명하였다.

그리고  $\alpha$ -isonitroso- $\beta$ -diketone diimine 류의 금속착물에 관한 연구로서 Kim 등<sup>12</sup>은 H-IEAA의 diimine 유도체인 (IEAA)<sub>2</sub>-en, (IEAA)-pn과의 Pd(II) 착물을 합성하였다. 여기서 (IEAA)<sub>2</sub>-en과 (IEAA)-pn은 각각 *N,N'*-ethylenebis(isonitrosoethylacetoacetate imine) 및 *N*-(2-aminopropyl)isonitrosoethylacetoacetate imine을 표시한다. 이 연구에서 이들 착물들은 (III) 및

(IV)의 구조를 갖는다고 제안되었다.



본 연구에서는  $\beta$ -diketone의  $\alpha$ -isonitroso 화합물의 일종인 isonitrosoacetylacetonate과 몇가지 diamine을 반응시킨 bis(isonitrosoacetylacetonate) diimine을 리간드로 하는 Ni(II) 및 Pd(II) 착물을 합성하고 이들 착물들의 구조를 원소분석, 전자스펙트럼, 적외선흡수스펙트럼 그리고 핵자기공명스펙트럼등으로 규명하고자 한다.

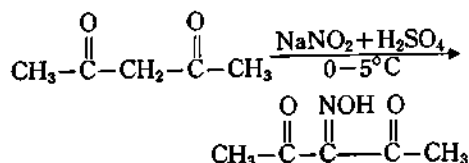
## 실 험

**시약 및 기기.** Diamine 류(ethylenediamine, propylenediamine, trimethylenediamine) 및 모든 시약은 1급 또는 특급시약을 정제하지 않고 사용하였다.

원소(C, H, N) 분석은 Perkin Elmer 240을 사용하였으며, Cl 분석을 위하여 사용된 X-선 형광 분석기는 Rigaku 3063P 이었다. 그리고 전자스펙트럼은 Varian Cary-219 UV-vis spectrophotometer를 사용하여 200~700nm의 파장범위에서 acetonitrile을 용매로 하여 측정하였으며, 적외선흡수스펙트럼은 JASCO Model A-202를 사용하여 KBr pellet 방법에 의해 4000~400 $\text{cm}^{-1}$ 에서 측정하였다.  $^1\text{H}$  및  $^{13}\text{C}$  핵자기공명스펙트럼은 DMSO- $d_6$  또는 TFA 용매에 녹여 TMS를 내부표준물질로 하여 Bruker AM-200 및 Varian EM-360에서 측정하였다.

**합성.** (1) Isonitrosoacetylacetonate, H-IAA

Welcher의 방법<sup>14</sup>에 따라 acetylacetonate를 nitrosation시켜 합성하였다.



이때 수득율은 80%, m. p.는 74°C로서 분현 $^{12}$ 과 잘 일치하였다.

(2) *N, N'*-Ethylenebis(isonitrosoacetylacetonate imino)nickel(II), Ni(IAA) $_2$ -en

NiCl $_2$ ·6H $_2$ O 0.48g(0.002몰)과 H-IAA 0.52g(0.004몰)을 에탄올 50ml에 녹이고 서서히 저어주면서 ethylenediamine 0.30g(0.005몰)을 가하였다. 이 용액을 약 2시간동안 70°C로 유지된 항온조에서 가열환류시켰다. 생성된 오렌지색 침전을 여과하여 물과 에탄올로 씻은 다음 진공건조시켰다.

수득율은 69.3% (0.47g)이었다.

(3) *N, N'*-Propylenebis(isonitrosoacetylacetonate imino)nickel(II), Ni(IAA) $_2$ -pn

NiCl $_2$ ·6H $_2$ O 0.48g(0.002몰)과 H-IAA 0.52g(0.004몰)을 에탄올 50ml에 녹이고 서서히 저어주면서 propylenediamine 0.37g(0.005몰)을 가하였다. 이 용액을 약 5시간동안 70°C로 유지된 항온조에서 가열환류시킨후 용액을 감압농축시켰다. 이 용액을 냉장고 안에 방치해 두면 오렌지색 침전이 생긴다. 이 침전을 여과하여 물과 에탄올로 씻은 다음 진공건조시켰다.

수득율은 55.4% (0.39g)이었다.

(4) *N, N'*-Trimethylenebis(isonitrosoacetylacetonate imino)nickel(II), Ni(IAA) $_2$ -tn

NiCl $_2$ ·6H $_2$ O 0.48g(0.002몰)과 H-IAA 0.52g(0.004몰)을 에탄올 50ml에 녹이고 서서히 저어주면서 trimethylenediamine 0.37g(0.005몰)을 가하였다. 이 용액을 약 2시간동안 70°C로 유지된 항온조에서 가열환류시켰다. 생성된 노란색 침전을 여과한 후 nitromethane으로 재결정하였다.

수득율은 61.1% (0.43g)이었다.

(5) *N, N'*-Ethylenebis(isonitrosoacetylacetonate imino)palladium(II), Pd(IAA) $_2$ -en

PdCl $_2$  0.35g(0.002몰), H-IAA 0.52g(0.004몰) 및 ethylenediamine 0.30g(0.005몰)을 에탄올 50ml에 녹인 후 아세트산으로 용액의 pH를 3~4로 조절한 후에 약 8시간동안 80°C로 유지된 항온조에서 가열환류시켰다. 생성된 노란색의 침전을 여과한 후 nitromethane으로 재결

Table 1. Colors, melting points, and analytical data of Ni(II) and Pd(II) complexes

Complexes	Colors	m. p. <sup>a</sup> (°C)	Calc. (%)				Found (%)			
			C	N	H	Cl	C	N	H	Cl
Ni(IAA) <sub>2</sub> -en	orang-yellow	277	42.51	16.53	4.77		42.55	16.60	4.82	
Ni(IAA) <sub>2</sub> -pn	orange-yellow	245	44.35	15.92	5.16		44.31	16.02	5.35	
Ni(IAA) <sub>2</sub> -tn	red-yellow	215	44.35	15.92	5.16		44.43	16.04	5.29	
Pd(IAA) <sub>2</sub> -en	yellow	289	37.37	14.49	4.18		37.54	14.57	4.42	
PdCl(IAA)-pn	yellow	248	29.46	12.88	4.34	10.87	29.60	12.60	4.40	10.84
Pd(IAA) <sub>2</sub> -tn	golden-yellow	260	38.96	13.98	4.54		38.70	13.90	4.65	

<sup>a</sup> decomposition temperature.

정 하였다.

수득율은 47.8% (0.37g)이었다.

(6) *N*-(2-Aminopropyl)isonitrosoacetylacetone iminochloropalladium(II), PdCl(IAA)-pn  
PdCl<sub>2</sub> 0.35g(0.002몰), H-IAA 0.52g(0.004몰) 및 propylenediamine 0.37g(0.005몰)을 에탄올 50ml에 녹인 후 아세트산으로 용액의 pH를 3~4로 조절한 후에 약 8시간동안 90°C로 유지된 항온조에서 가열환류시켰다. 이 용액을 12시간 실온으로 방치해 두었다가 생성된 침전을 여과한 후 nitromethane으로 재결정 하였다.

수득율은 38.6% (0.25g)이었다.

(7) *N,N'*-Trimethylenebis(isonitrosoacetylacetone imino)palladium(II), Pd(IAA)<sub>2</sub>-tn  
PdCl<sub>2</sub> 0.35g(0.002몰), H-IAA 0.52g(0.004몰) 및 trimethylenediamine 0.37g(0.005몰)을 에탄올 50ml에 녹인 후 아세트산으로 용액의 pH를 3~4로 조절한 후에 약 8시간동안 80°C로 유지된 항온조에서 가열환류시켰다. 생성된 노란색 침전을 여과하여 물과 에탄올로 씻은 다음 진공건조시켰다.

수득율은 51.2% (0.41g)이었다.

### 결과 및 고찰

**금속착물들의 일반적인 성질.** 합성된 착물들은 오렌지색 또는 노란색의 결정으로서 모두 공기중에서 안정하며 물이나 대부분의 유기용매에 대한 용해도는 매우 작았다.

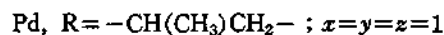
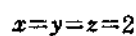
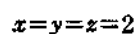
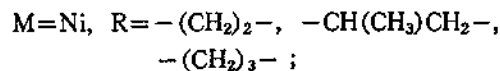
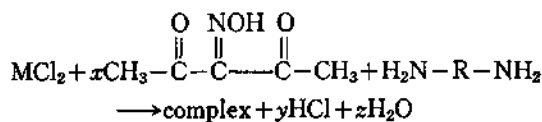
일반적으로 Ni(II) 및 Pd(II) 착물들은 배위수가 4일 때 반자기성의 사각평면구조 또는 상

자기성의 유사 사면체구조를 갖는 것으로 알려져 있다.<sup>11~16</sup> 전자스펙트럼을 측정된 결과 모든 착물들의 스펙트럼이 유사하므로 이들 착물들은 같은 구조를 가질 것으로 기대된다. 또한 이들 착물들의 핵자기공명스펙트럼을 측정된 결과 이들 착물들의 스펙트럼의 피크위치가 정상적인 반자기성물질의 값들과 잘 일치한다. 따라서 이들 착물들은 모두 반자기성의 사각평면구조를 가질 것으로 생각된다.

본 실험에서 합성된 착물들의 종류, 색깔, 녹는점 및 원소분석치의 결과는 Table 1과 같다.

원소분석치의 결과를 보면 이론치와 실험치가 잘 일치하며 대부분의 착물들에서 금속과 리간드의 비는 1:2이었다. 그러나 PdCl(IAA)-pn 착물에서는 한개의 이민 리간드 및 Cl이 금속이온에 결합되어 있음을 알 수 있다.

**금속착물들의 구조.** 착물들의 생성시 일반적인 반응은 아래와 같이 생각된다.



그리고 isonitrosoacetylacetone과 diamine을 반응시켜 생성된 리간드는 금속이온에 결합할 수 있는 주계원자를 여러개 가지고 있으므로 여러

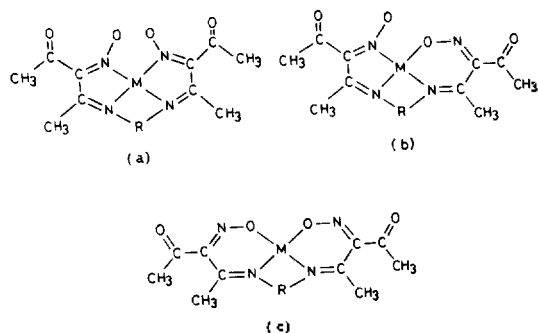


Fig. 1. Possible geometrical isomers of complexes.  $M = \text{Ni(II)}$  or  $\text{Pd(II)}$ ,  $R = -(\text{CH}_2)_2-$ ,  $-\text{CH}(\text{CH}_3)\text{CH}_2-$  or  $-(\text{CH}_2)_3-$

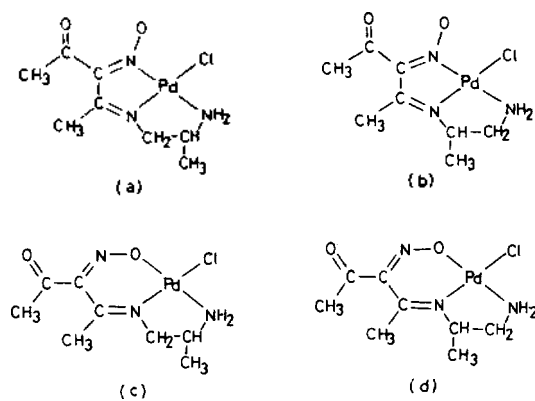


Fig. 2. Possible geometrical isomers of  $\text{PdCl(IAA)-pn}$ .

가지의 결합방식이 가능하다. 그 중에서 지금까지 여러논문에서 보고된 유사리간드의 결합방법을 참고하여 금속이온에 isonitroso 가의 질소원자 또는 산소원자 및 이민의 질소원자가 배위하는 것으로 가정하여 가능한 몇가지 구조를 그려보면 Fig. 1 및 Fig. 2와 같다.

Table 2. Electronic spectral bands of  $\text{Ni(II)}$  and  $\text{Pd(II)}$  complexes

Complexes	Absorption max. nm ( $\epsilon$ , $l \cdot \text{mole}^{-1} \cdot \text{cm}^{-1}$ )			
$\text{Ni(IAA)}_2\text{-en}$	233 (14300)	292 (37000)	350 (2620)	448 (90)
$\text{Ni(IAA)}_2\text{-pn}$	232 (18100)	292 (39300)	352 (3980)	448 (80)
$\text{Ni(IAA)}_2\text{-tn}$	240 (13700)	294 (19200)	356 (4210)	452 (80)
$\text{Pd(IAA)}_2\text{-en}$	236 (14700)	266 (13200)	352 (1500)	452 (60)
$\text{PdCl(IAA)-pn}$	234 (15500)	268 (8380)	348 (1490)	452 (40)
$\text{Pd(IAA)}_2\text{-tn}$	227 (18200)	266 (26400)	348 (3940)	448 (50)

### (1) 전자스펙트럼

$\text{Ni(II)}$  및  $\text{Pd(II)}$  착물들의 전자스펙트럼은 아세토니트릴에 녹여 200~700nm의 영역에서 측정하였으며 그 결과는 Table 2와 같다.

모든 착물들의 스펙트럼은 매우 비슷하기 때문에 이들 착물들이 유사한 구조를 가질 것으로 추정된다. 각 착물들은 220~240nm ( $\epsilon=10^4$ )에서 리간드의  $\pi \rightarrow \pi^*$  전이를 나타내는 강한 흡수띠를 나타내며 전하이동흡수띠는 270nm와 290nm ( $\epsilon=10^3$ ) 부근에서 각각 나타나고 있다. 그리고 450nm ( $\epsilon=40 \sim 90$ ) 부근에서 약한 띠가 나타나는데 그 세기와 위치로 보아 사각평면의  $\text{Ni(II)}$  및  $\text{Pd(II)}$  착물들의 d-d 전이 ( ${}^1A_{1g} \rightarrow {}^1A_{2g}$ )에 의한 것으로 추정된다.<sup>12,17</sup> 따라서, 이들 결과 및 자기적인 성질로부터 착물들은 모두 반자기성의 사각평면구조를 가질 것으로 추정된다.

### (2) 적외선스펙트럼

4000~400 $\text{cm}^{-1}$  범위에서 측정한 착물들의 적외선흡수스펙트럼의 중요한 띠를 Table 3에 나타

Table 3. Important i. r. bands of  $\text{Ni(II)}$  and  $\text{Pd(II)}$  complexes<sup>a</sup>

Complexes	N-H str.	C=O str.	C=N str.	N-O str.	M-N str.
$\text{Ni(IAA)}_2\text{-en}$		1690vs	1570w	1160s	585w
$\text{Ni(IAA)}_2\text{-pn}$		1685vs	1580	1150s	590w
$\text{Ni(LAA)}_2\text{-tn}$		1640vs, 1680vs	1560w	1160s	590w
$\text{Pd(IAA)}_2\text{-en}$		1660s, 1680sh	1590w	1120s	570w
$\text{PdCl(IAA)-pn}$	3250s <sup>a</sup>	1630s	1590s	1110s	610w
$\text{Pd(IAA)}_2\text{-tn}$		1650s	1560w	1120w	580w

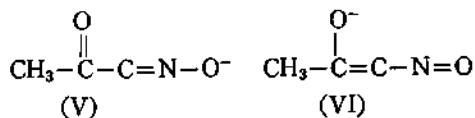
<sup>a</sup> splitted peak, <sup>b</sup> s: strong, sh: shoulder, vs: very strong, w: weak.

내었다.

PdCl(IAA)-pn 착물의  $3250\text{cm}^{-1}$ 에서의 쪼개진 피크는 일차 아민(-NH<sub>2</sub>)의 N-H 신축진동에 의한 특성피크로 보여진다.<sup>18</sup> 그러나 다른 착물들은 모두 N-H 신축진동에 의한 흡수띠를 나타내고 있지 않으며 따라서 이들 착물들에서의 모든 리간드는 두개의 Schiff 염기(C=N-C)를 갖고 있음을 알 수 있다.

$1630\sim 1690\text{cm}^{-1}$ 의 강한 흡수띠는 금속이온에 결합되지 않은 C=O 기로 해석되는데 Lacey 등<sup>6</sup>과 Bose 등<sup>9</sup>이 보고한 위치와 비슷하다. 만일 금속이온과 C=O 기의 결합이 일어난다면 이보다 더 낮은 파수에서 나타날 것으로 예측된다. 결합되지 않은 C=O 신축진동띠가 Ni(IAA)<sub>2</sub>-tn 착물과 Pd(IAA)<sub>2</sub>-en 착물에서 각각 두개가 나타났다.

이들 착물에서 두 C=O 흡수띠중에서 높은 파수의 것은 N-O의 산소에 배위되어 6원고리를 이루고 있는 리간드, 그리고 낮은 파수의 것은 N-O의 질소에 배위되어 5원고리를 이루고 있는 리간드에 의한 것으로 해석된다. 질소에 배위된 리간드보다 산소에 배위된 리간드의 C=O 신축진동이 높은 파수에서 일어나는 이유는 질소에 배위된 리간드에서 (VI)보다 (V)의 공명구조가 주로 기여하기 때문이다.<sup>13</sup> 반면 그외의 착물들에서는 흡수띠가 한개만 나타나는 것으로



보아 Lacey 등<sup>6</sup>과 Bose 등<sup>9</sup>과의 유사한 결과로 5원고리의 대칭구조를 이룰 것으로 추정되고 PdCl(IAA)-pn 착물은 Kim 등<sup>12</sup>이 제시한 것과 같이 H-IAA 한분자 만이 결합할 것으로 추정된다.

그리고 H-IAA에서  $1010\text{cm}^{-1}$ 의 강한 흡수띠인 N-O 신축진동띠가 모든 착물들에서는  $1110\sim 1160\text{cm}^{-1}$  범위에서 나타나는 데 이는 질소 원자에 금속이온의 결합에 의한 것으로 추정된다. 이들 결과는 isonitrosoacetylacetone imine 유도체의 금속착물들에서의  $1185\sim 1217\text{cm}^{-1}$ 와 유사하다.<sup>6,9</sup> 이것은 착물이 생성될 때 oxime 기(=N-OH)의 수소원자가 떨어져 나가고 질소

원자가 금속이온에 배위되어 공명구조가 가능하기 때문인 것으로 설명하고 있다.<sup>1,19</sup> 한편 6원고리일때 산소에 배위된 N-O 신축진동띠는 이 값보다 낮은 파수에서 나타날 것으로 기대되나 세기가 감소하고 다른 피크들과 중첩되어 확인이 불가능하였다.

또한 이들 착물들은  $600\text{cm}^{-1}$  부근에서 비교적 약한 M-N 신축진동에 의한 흡수띠를 나타내고 있는데 이것은 Watt 등<sup>20</sup>이 Pd(II)의 ethylenediamine 착물에서 M-N 신축진동띠가  $600\sim 500\text{cm}^{-1}$  범위에서, Patel 등<sup>1</sup>이 Co(IAA)<sub>3</sub> 착물에 있어서  $587, 593\text{cm}^{-1}$ , Talwar 등<sup>2</sup>이 Pd(IAA)<sub>2</sub> 착물에 있어서  $613\text{cm}^{-1}$ , Lee 등<sup>4</sup>이 Co(IBA)<sub>2</sub>와 Pd(IBA)<sub>2</sub> 착물에 있어서  $590\text{cm}^{-1}$ 과  $540\text{cm}^{-1}$ 에서 나타난다는 M-N 기의 신축진동의 흡수띠와 유사하다.

또한  $1560\sim 1590\text{cm}^{-1}$ 에는 C=N 기의 신축진동의 흡수띠가 나타난다.

이들 결과를 요약하면 Ni(IAA)<sub>2</sub>-tn 착물과 Pd(IAA)<sub>2</sub>-en 착물은 상이한 5원고리와 6원고리가 한 착물내에 존재하는 구조를 가지고 PdCl(IAA)-pn 착물은 한개의 Schiff 염기 및 Cl 이 착물을 형성하며 그외의 모든 착물들은 대칭적인 5원고리로 이루어진 구조를 이룰 것이다.

### (3) 핵자기공명스펙트럼

Ni(II) 및 Pd(II) 착물들의 중요한 양성자핵자기공명스펙트럼을 Table 4에, 그리고 Ni(IAA)<sub>2</sub>-tn 착물과 PdCl(IAA)-pn 착물의 탄소-13 핵자기공명스펙트럼을 Table 5에 나타내었다. 용매에 대한 착물들의 용해도가 매우 낮아서 모든 착물들에 대한 탄소-13 핵자기공명스펙트럼을 얻지 못하고 일부 착물들에 대해서만 탄소-13 핵자기공명스펙트럼을 얻을 수 있었다.

Table 4의 착물들의 양성자핵자기공명스펙트럼을 보면 적외선흡수스펙트럼과 잘 일치하여 상이한 두개의 킬레이트 고리를 가진 것으로 보이는 Ni(IAA)<sub>2</sub>-tn 착물과 Pd(IAA)<sub>2</sub>-en 착물에서는 -CH<sub>3</sub>가 4종류(2.26, 2.32, 2.52, 2.62와 2.40, 2.54, 2.66, 2.70), N-CH<sub>2</sub>가 2종류(3.15, 3.26과 3.93, 4.33)의 피크를 나타냈다.

그리고 탄소-13 핵자기공명스펙트럼은 Table

Table 4.  $^1\text{H}$  NMR spectral data for Ni(II) and Pd(II) complexes

Complexes	Chemical shift(ppm)		
	$\begin{array}{c} \text{N} \\    \\ -\text{C}-\text{CH}_3 \end{array}$	$\begin{array}{c} \text{O} \\    \\ -\text{C}-\text{CH}_3 \end{array}$	diamines
Ni(IAA) $_2$ -en	2.42	2.60	3.22t(N-CH $_2$ -)
Ni(IAA) $_2$ -pn	2.25	2.43	1.23d(-CH $_3$ ), 3.31d(N-CH $_2$ -), 3.96m(N-CH=)
Ni(IAA) $_2$ -tn	2.26 2.32	2.52 2.62	3.15t, 3.26t(N-CH $_2$ -), 2.06m(-CH $_2$ -)
Pd(IAA) $_2$ -en	2.40 2.54	2.26 2.70	3.93t, 4.33t(N-CH $_2$ -)
PdCl(IAA)-pn	2.27	2.30	1.15d(-CH $_3$ ), 3.35d(N-CH $_2$ -), 3.93m(N-CH=)
Pd(IAA) $_2$ -tn	2.52	2.80	3.80t(N-CH $_2$ -), 2.35m(-CH $_2$ -)

\* d : doublet, t : triplet, m : multiplet.

Table 5.  $^{13}\text{C}$  NMR spectral data<sup>a</sup> of PdCl(IAA) $_2$ -tn

PdCl(IAA)-pn		Ni(IAA) $_2$ -tn	
Assignment	Chemical shift(ppm)	Assignment	Chemical shift(ppm)
-CH $_3$	20.53, 22.12, 35.20	-CH $_3$	21.04, 23.51, 31.70, 34.82
=N-CH $_2$ -	59.44	-CH $_2$ -	32.10
=N-CH=	62.31	=N-CH $_2$ -	51.00, 54.20
$\begin{array}{c} \text{N}- \\    \\ -\text{C}- \\   \\ \text{N}-\text{O} \\    \\ -\text{C}- \\   \\ \text{O} \\    \\ -\text{C}- \end{array}$	162.02	$\begin{array}{c} \text{N}- \\    \\ -\text{C}- \\   \\ \text{N}-\text{O} \\    \\ -\text{C}- \\   \\ \text{O} \\    \\ -\text{C}- \end{array}$	157.04, 160.52
	176.93		178.39, 180.21
	196.02		191.21, 195.22

\*  $^1\text{H}$  decoupled.

5로부터 알수 있는 바와 같이 Ni(IAA) $_2$ -tn 착물에서 4종류의 -CH $_3$ (21.04, 23.51, 31.70, 34.82), 2종류의 =C=O기(191.21, 195.22), 2종류의 N-CH $_2$ - (51.00, 54.20), 그리고 4종류의 =C=N기(157.04, 160.52, 178.39, 180.21)를 확인할 수 있었다.<sup>19,21</sup>

이 결과들을 앞서 설명한 적외선흡수스펙트럼의 결과와 관련지워 비교해 보면 Ni(IAA) $_2$ -tn 착물과 Pd(IAA) $_2$ -en 착물에 있어서 리간드가 금속이온에 배위할 때 두개의 isonitroso 기들 중에서 한개는 isonitroso 기의 질소원자가 금속이온에 배위되고 다른 한개는 isonitroso 기의 산소원자가 금속이온에 배위되어 5원고리와 6원고리를 형성하여 결합이성질현상이 나타나는 Fig. 1

의 (b)와 같은 구조를 이룰것으로 추정된다.

그리고 PdCl(IAA)-pn 착물은 Fig. 2의 (a)와 같은 구조를 이룰것으로 추정된다.

그외의 착물들(Ni(IAA) $_2$ -en, Ni(IAA) $_2$ -pn, Pd(IAA) $_2$ -tn)은 대칭적인 5원고리구조를 형성하는 Fig. 1의 (a)와 같은 구조일 것으로 생각된다.

이러한 구조적 차이는 Ni(II) 및 Pd(II)의 이온크기차이 때문으로 추정된다. 즉, Ni(II)이 Pd(II)보다 작기 때문에 입체적 장애에 의해 Ni(II) 착물에서는 금속이 (IAA) $_2$ -en 과 대칭적인 5원고리를 이룬 반면 (IAA) $_2$ -tn 과는 5원고리와 6원고리의 비대칭적인 구조를 이루었다. Pd(II) 착물에 있어서는 Ni(II) 착물의 경

우와 반대로 금속이 (IAA)<sub>2</sub>-tn 과 대칭적인 5 원고리물 이분반면 (IAA)<sub>2</sub>-en 과는 비대칭적인 구조를 이루었다. 즉, (IAA)<sub>2</sub>-en 과 (IAA)<sub>2</sub>-tn 에 있어서 ethylenediamine 의 N-C-C-N 의 결합길이가 trimethylenediamine 의 N-C-C-C-N 의 결합길이보다 짧기 때문에 Pd(II)보다 작은 Ni(II)에서는 isonitrosoacetylacetone 과 금속이온이 형성하는 N-M-N 의 각도가 큰 대칭적인 5 원고리의 안정한 Ni(IAA)<sub>2</sub>-en 착물을 형성하는 반면 Ni(II)보다 큰 Pd(II)에서는 trimethylenediamine 과 N-M-N 의 각도가 큰 대칭적인 5 원고리의 안정한 Pd(IAA)<sub>2</sub>-tn 착물을 형성하였다.

그리고 propylenediamine 의 경우에 있어서 Ni(II)과는 (IAA)<sub>2</sub>-pn 으로 착물이 합성되었지만 ethylenediamine 의 H 대신에 CH<sub>3</sub> 의 치환으로 입체적장에 효과가 커서 이온의 크기가 큰 Pd(II)에서는 (IAA)<sub>2</sub>-pn 과 또다른 한분자의 H-IAA 와의 아민교환반응을 방해하기 때문에 PdCl(IAA)<sub>2</sub>-pn 착물의 구조를 이분것으로 추정된다.

### 인 용 문 헌

1. N. J. Patel and B. C. Haldar, *J. Inorg. Nucl. Chem.*, **29**, 1037 (1967).
2. U. B. Talwar and B. C. Haldar, *J. Inorg. Nucl. Chem.*, **32**, 213 (1970).
3. S. B. Khatavkar and B. C. Haldar *J. Inorg. Nucl. Chem.*, **36**, 2239 (1974).
4. M. H. Lee, D. S. Oh and S. H. Kim, *J. Kor. Chem. Soc.*, **24**, 121 (1980).
5. T. W. J. Taylor and E. K. Ewbank, *J. Chem. Soc.*, 2818 (1926).
6. M. J. Lacey, C. G. Macdonald, J. S. Shannon, and P. J. Collin, *Aust. J. Chem.*, **23**, 2279 (1970).
7. D. A. White, *J. Chem. Soc.*, (A), 223 (1971).
8. M. J. Lacey and C. G. Macdonald, *Chem. Comm.*, 1206 (1971).
9. K. S. Bose, B. C. Sharma and C. C. Patel, *Inorg. Chem.*, **12**, 120 (1973).
10. M. H. Lee, D. S. Oh and K. W. Lee, *J. Kor. Chem. Soc.*, **22**, 19 (1978).
11. S. H. Kim, Ph. D. Thesis, Kyungpook National Univ. (1983).
12. S. H. Kim, K. I. Okamoto, H. Einaga, and J. Hidaka, *J. Kor. Chem. Soc.*, **29**, 490 (1985).
13. R. R. Iyengar, K. S. Bose, and C. C. Patel, *J. Inorg. Nucl. Chem.*, **37**, 75 (1975).
14. F. J. Welcher, *Organic Analytical Reagent*, **3**, 280 (1955).
15. F. A. Cotton and G. Wilkinson, *Advanced Inorganic Chemistry*, 4th Ed., p. 793-803, John Wiley & Sons, New York (1980).
16. D. R. Eaton, W. D. Phillips and D. J. Caldwell, *J. Am. Chem. Soc.*, **85**, 397 (1963).
17. T. S. O, M. H. Lee, S. H. Kim, J. H. Park and H. W. Lee, *J. Kor. Chem. Soc.*, **26**, 31 (1982).
18. D. L. Pavia, G. M. Lampman, and G. S. Kriz, Jr., *Introduction to Spectroscopy*, Saunders Co., Philadelphia (1979).
19. B. K. Lee, Ph. D. Thesis, Kyungpook National Univ. (1986).
20. G. W. Watt and D. S. Klett, *Inorg. Chem.*, **5**, 1278 (1966).
21. G. C. Levy, R. L. Lichter, and G. L. Nelson, *Carbon-13 NMR Spectroscopy*, 2nd Ed., p. 50-190, John Wiley & Sons, New York (1980).